

# تجزیه و تحلیل غیرخطی سازه‌های بتن‌آرمه تحت بارگذاری مونوتونیک و دوره‌یی رفت و برگشتی با استفاده از روش اجزاء محدود

بیتا امیری\* (کارشناس ارشد)

امیرهوسنگ اخوی‌پور (دانشیار)

گروه مهندسی عمران، دانشگاه رازی کرمانشاه

در این مطالعه از تجزیه و تحلیل اجزاء محدود غیرخطی برای پیش‌بینی رفتار سازه‌های بتن‌آرمه تحت بارگذاری مونوتونیک و دوره‌یی استفاده شده است. برای شبیه‌سازی رفتار غیرخطی بتن در فشار و کشش از سطح تسایم HISS، که می‌تواند تعییرشکل‌های کشسان و خمیری را در نظر بگیرد، استفاده شده است. برای حالات باربرداری و بارگذاری مجدد از معادلات ارائه شده دسای استفاده شده است، که در عین ساده‌بودن می‌تواند شبیه‌سازی رضایت‌بخشی از بارگذاری دوره‌یی ارائه دهد. مدل پیشنهادی به صورت برنامه‌بی به زبان فورترن در قالب اجزاء محدود نوشته شده است، که در آن برای مدل سازی بتن از المان‌های گرهی سرنزی‌پیتی و برای آرماتورها از المان‌های ۲ گرهی استفاده شده است. به منظور بررسی توانایی مدل پیشنهادی در پیش‌بینی رفتار غیرخطی سازه‌های بتن‌آرمه تحت بارگذاری مونوتونیک و دوره‌یی، یک قاب و یک تیر مدل سازی شده و نتایج با روش تعییرمکان برای آن‌ها به دست آمده است. مقایسه‌ی بار-تعییرمکان به دست آمده ازین سازه‌ها با نتایج آزمایشگاهی تطابق خوبی داشته است، که نشان‌دهنده توانایی مدل پیشنهادی در پیش‌بینی رفتار غیرخطی سازه‌های بتن‌آرمه است.

**واژگان کلیدی:** سازه‌های بتن‌آرمه، بارگذاری مونوتونیک، بارگذاری دوره‌یی، تحلیل اجزاء محدود غیرخطی، مدل حالت خمیری سطح تسیم سلسه مراتی (HISS).

## ۱. مقدمه

امروزه روش‌های اجزاء محدود به طور گسترده برای بررسی و توصیف رفتار غیرخطی سازه‌ها مورد استفاده قرار می‌گیرند و نتایج به دست آمده از تحلیل‌های مذکور می‌تواند با تازه‌استفاده بالایی مورد استفاده قرار گرد. در سال ۱۹۹۰، روش جدیدی براساس مفهوم انرژی شکست برای تجزیه و تحلیل غیرخطی سازه‌های بتن‌آرمه تحت باری که به طور یکنواخت افزایش می‌یابد، پیشنهاد و فرض شده است که بتن در ناحیه‌ی کششی به صورت ارجاعی و در ناحیه‌ی فشاری به صورت کشسان با سخت‌شدگی خمیری رفتار گردد.<sup>[۱]</sup> همچنین در سال ۲۰۱۱، مدل مشخصه‌ی جدیدی برای پیش‌بینی رفتار بتن مسلح تحت بارگذاری دوره‌یی شبه استاتیکی ارائه شده و مشخصه‌های دوره‌یی اساسی بتن در مدل مذکور با استفاده از کریشن‌های غیرقابل برگشت (کریشن خمیری)، بسته‌شدن و بازشدن مجدد ترک، منحنی‌های باربرداری غیرخطی که انرژی شکست را نشان می‌دهد و منحنی‌های بارگذاری مجدد با سختی بارگذاری مجدد کاهش یافته، که میزان خسارت را محاسبه می‌کنند، توصیف شده‌اند.<sup>[۲]</sup> در سال ۱۹۹۱ نیز از مدل

\* نویسنده مسئول

تاریخ: دریافت ۱۹/۱۱/۱۳۹۳، اصلاحیه ۵/۳/۱۳۹۴، پذیرش ۶/۴/۱۳۹۴.

حالت خمیری برای تحلیل تنش مسطح مصالح ناهمگن، که تحت تنش های فشاری دوره بی قرار گرفته، ارائه شده است؛ که امکان کنترل نسبت جابه جایی های کلی دامنه و غیرکشسان را فراهم آورده است.<sup>[۲۰]</sup> مدل های دیگر نیز در همان سال ارائه شده اند، من الجمله مدلی براساس مدل خمیری کلاسیک و مدل خسارت پیوسته برای قاب های بتن آرمه، که روشی مناسب برای محاسبه بار حدی قاب های بتن آرمه تحت واکنش های لرزه بی بوده.<sup>[۲۱]</sup> و همچنین یک مدل مشخصه براساس نظریه ای ترک چرخشی برای پیش بینی رفتار سازه های بتن مسلح تحت بارگذاری دوره بی شبیه استاتیکی، که مشخصه های دوره بی اساسی بتن در مدل مذکور با استفاده از کرنش های غیرقابل برگشت، بسته شدن و بازشدن مجدد ترک، منحنی های باربرداری غیرخطی که انرژی شکست را نشان می دهد و منحنی های بارگذاری مجدد با سختی بارگذاری مجدد کاهش یافته که میزان خسارت را محاسبه می کند، توصیف شده اند.<sup>[۲۲]</sup> در مطالعه ای دیگری نیز در همان سال از تحلیل های اجزاء محدود به عنوان ابزاری عددی برای بررسی رفتار اتصالات سازه های بتن آرمه، و برای محاسبه ترک خودگی بتن از مدل هایی براساس مکانیزم گسیختگی غیرخطی، و برای بتن تاھیه ای فشاری و میلگرد های فولادی از مدل های حالت خمیری استفاده شده است.<sup>[۲۳]</sup> همچنین در سال ۲۰۰۹، یک مدل عددی براساس روش لایه بی برای تحلیل غیرخطی قاب های بتن مسلح دو بعدی معرفی شده است.<sup>[۲۴]</sup> در سال ۲۰۱۰ نیز یک مجموعه معادلات مشخصه برای مدل سازی مصالح شبه ترد همچون بتن تحت بارهای دوره بی پیشنهاد شده،<sup>[۲۵]</sup> و همچنین یک مدل اجزاء محدود سه بعدی برای مطالعه ای پاسخ و پیش بینی رفتار اتصال تیر - ستون دوگانه پیش ساخته تحت بارهای دوره بی ارائه شده است، به طوری که مدل مذکور اثر پیش کشش در پس کشیدگی و رفتار غیرخطی مصالح بتن را در نظر گرفته است.<sup>[۲۶]</sup> یک مطالعه ای عددی دیگر هم در سال ۲۰۰۹، با استفاده از روش اجزاء محدود برای نمونه های دیوار بر شی بتن آرمه تحت بارگذاری سیکلی به منظور برآورد خسارت از طریق مفهوم اتلاف انرژی انجام شده است.<sup>[۲۷]</sup> برخی پژوهشکاران نیز در سال ۱۹۷۴ یک مدل حالت خمیری با سطح تسلیم برای بتن غیر مسلح مخصوص نشده ارائه کرده و میزان تأثیر عوامل پیوستگی - لغزش و بیرون کشیدگی میلگرد از درون اتصال در پاسخ تحلیلی قاب های بتن مسلح را مورد بررسی قرار داده اند.<sup>[۲۸]</sup>

در پژوهش حاضر نیز از روش تجزیه و تحلیل اجزاء محدود غیرخطی برای پیش بینی رفتار سازه های بتن آرمه تحت بارگذاری مونوتونیک و دوره بی رفت و برگشتی استفاده شده است، که از میان سطوح تسلیم موجود از سطح تسلیم HISS، و برای حالات باربرداری و بارگذاری مجدد از معادلات ارائه شده دسای،<sup>[۲۹]</sup> استفاده شده است. سپس برنامه بی به زبان فرتون در قالب اجزاء محدود غیرخطی نوشته شده است، که در آن برای مدل سازی بتن از المان های ۸ گره بی سرنديبيتی و برای آرما تورها از المان های ۲ گره بی استفاده شده است. در ادامه، به منظور بررسی توانایی مدل پیشنهادی در پیش بینی رفتار غیرخطی سازه های بتن آرمه تحت بارگذاری مونوتونیک و دوره بی رفت و برگشتی، ۲ نمونه شامل یک قاب و یک تیر به ترتیب تحت بارگذاری مونوتونیک و دوره بی مدل سازی و با نتایج آزمایشگاهی موجود مقایسه شده اند.

## ۲. مدل حالت خمیری سطح تسلیم HISS

مدل حالت خمیری سطح تسلیم منفرد سلسه مراتبی (HISS)، یک فرمول کلی برای مشخصات کشسان - خمیری رفتار مصالح فراهم می کند. این مدل که برای سخت شدگی ایزو ترمو پیک و غیر ایزو ترمو پیک و مشخصات حالت خمیری وابسته و

را در خلال تغییر شکل منجر به شکست و گسیختگی به حساب آورد.<sup>[۳۰]</sup> یک فرمول بنده تحلیلی نیز برای ارزیابی روابط تیرو - تغییر شکل برای جان کانال های معکوس تحت کشش جانبی ارائه شده است<sup>[۳۱]</sup> که شامل یک منحنی دو خطی به صورت یک پاسخ خطی از شروع بارگذاری تا شکل گیری خط تسلیم و پس از آن تا رسیدن به مقاومت نهایی بوده است.<sup>[۳۲]</sup> همچنین در سال ۲۰۱۳ یک مدل مشخصه ای جدید برای مصالح شبه ترد تحت بارگذاری دوره بی ارائه شده است، که ویژگی های اصلی آن شامل: عدم تقارن بین کشش و فشار، کرنش های دامنه و اثر یک جانبه، و همچنین درنظر گرفتن اثرات هیستوتیک بوده است.<sup>[۳۳]</sup> یک فرمول بنده اجزاء محدود تیر چندلایه (۲۰۱۴) نیز براساس مدل تیر تیموشنکو برای تحلیل شکست تیرها و قاب های بتن آرمه ارائه و رفتار مصالح بتن و لایه های فولادی به ترتیب براساس مدل کشسان و پیش بینی پارامتر خسارت برای بتن و همچنین در مطالعات دیگری در همان سال به بررسی رفتار دیوارهای بر شی بتنی فوق سبک تحت بارگذاری دوره بی شبیه استاتیکی،<sup>[۳۴]</sup> و نیز به برآورد خسارت تجمعی ساختمان ها تحت بارگذاری دوره بی با استفاده از روش چرخه های با رازفون (چرخه های پوش آورا پرداخته شده است.<sup>[۳۵]</sup>

در یک مطالعه ای عددی (۲۰۱۴) دیگر هم برای برآورد پاسخ غیرخطی لوله های فولادی پر شده با بتن تحت بار محوری ثابت و چرخه های مختلف بارگذاری خمشی از ۳ مدل هیستوتیک شامل: مدل بوج - ون، مدل رامبرگ - اسکگود، و مدل ال - برمانی استفاده شده است.<sup>[۳۶]</sup> در مطالعه بی در سال ۱۹۹۱، نیز چندین مدل مشخصه ای تنش مسطح برای تحلیل اجزاء محدود غیرخطی سازه های بتن آرمه تحت بارگذاری مونوتونیک پیشنهاد شده و از یک راطه ای تشن - کرشن خمیری با سخت شدگی کرنش کشسان با یک قانون جریان غیر پیوسته برای مدل سازی بتن در محدوده ای ناحیه ای فشاری استفاده و برای بتن نیز در محدوده ای کششی، رفتار گسیختگی ترد کشسان در نظر گرفته شده است.<sup>[۳۷]</sup> پژوهشگرانی نیز در سال ۱۹۹۳، یک مدل سخت شدگی جنبشی عمومی برای پیش بینی رفتار سازه ها تحت زلزله رفت و برگشتی<sup>[۳۸]</sup> ضمن اصلاح یک مدل پیشین،<sup>[۳۹]</sup> به گونه بی که مطابق با مدل های سخت شدگی پراگر و زیگار نیز باشد، ارائه کرده اند. همچنین در سال ۱۹۹۹، از طریق الگوریتم اجزاء محدود، فرمول هایی براساس سختی سکانتی به منظور فراهم کردن توانایی تحلیل برای شرایط بارگذاری دلخواه، شامل بارهای دوره بی رفت و برگشتی ارائه شده است.<sup>[۴۰]</sup> در سال ۲۰۰۰، نیز یک مدل اجزاء محدود برای پیش بینی رفتار غیرخطی سازه های بتن آرمه تحت بارگذاری یکنواخت ارائه شده و در آن مواردی از قبیل: تأثیرات نرم شدگی بتن در فشار تأثیر کشش - سخت شدگی به وسیله ای بتن در کشش، میانگین منحنی تشن - کرشن میلگرد های فولادی جاسازی شده در بتن، و مدول بر شی مناسب و منطقی جدید برای بتن در نظر گرفته شده است.<sup>[۴۱]</sup> همچنین در مطالعات دیگری، یک مدل حالت خمیری کلاسیک با چندین ضابطه ای گسیختگی برای پیش بینی مشخصات رفتاری بتن در فشار چند جمجمه ارائه شده است.<sup>[۴۲]</sup> در سال ۲۰۰۷ نیز با استفاده از مدول سکانتی، یک روش اجزاء محدود غیرخطی دو بعدی برای تحلیل تیرهای بتن آرمه تحت بارگذاری مونوتونیک و دوره بی ارائه شده است.<sup>[۴۳]</sup> همچنین برخی پژوهشکاران یک مدل مهندسی سازه بی تحلیلی برای شبیه سازی رفتار هیستوتیک غیرخطی دیوارهای بتن آرمه ارائه داده اند، که در آن تمامی مشخصات اساسی رفتار دیوارهای بتن آرمه شامل: کاهش مقاومت، کاهش سختی، تأثیر لغزش چسبندگی، مکانیزم تغییر شکل برای غیرکشسان و تأثیرات مخصوص شدگی به طور تحلیلی و آزمایشگاهی مدل سازی شده است.<sup>[۴۴]</sup> در سال ۲۰۰۸ نیز یک مدل فضایی سه بعدی براساس ترکیب مکانیزم خسارت و توری

رابطه‌ی تنش - کرنش در حالت کشسان خمیری به صورت رابطه‌های ۴ و ۵ است:

$$d\sigma = C^{ep}.d\varepsilon = d\varepsilon \left[ C^e - \frac{C^e \frac{\partial Q}{\partial \sigma} \left( \frac{\partial F}{\partial \sigma} \right)^T C^e}{\left( \frac{\partial F}{\partial \sigma} \right)^T C^e \cdot \frac{\partial Q}{\partial \sigma} - \frac{\partial F}{\partial \zeta} \cdot \gamma_F} \right] \quad (4)$$

$$\gamma_F = \left[ \left( \frac{\partial Q}{\partial \sigma} \right)^T \cdot \frac{\partial Q}{\partial \sigma} \right]^{\frac{1}{2}} \quad (5)$$

که در آن،  $C^e$  ماتریس مشخصه‌ی کشسان بوده و  $C^{ep}$  ماتریس مشخصه‌ی کشسان خمیری نامیده می‌شود. این تذکر لازم است که برای حالت خمیری پیوسته،  $Q = F$  می‌تواند در معادلات ۵ و ۶ جایگذاری شود. شایان توجه است که تعیین نمو تنش در هر گام بارگذاری به صورت سعی و خطأ انجام می‌شود. در این راستا الگوریتم ارائه شده‌ی اخویسی و دسای،<sup>[۵]</sup> فرایند موردنیاز برای تعیین نمو تنش را ارائه می‌کند.

### ۳. باربرداری

در خلال باربرداری، معادله‌ی تنش - کرنش نموی به صورت رابطه‌ی ۶ است:

$$d\sigma = C^{UL} d\varepsilon \quad (6)$$

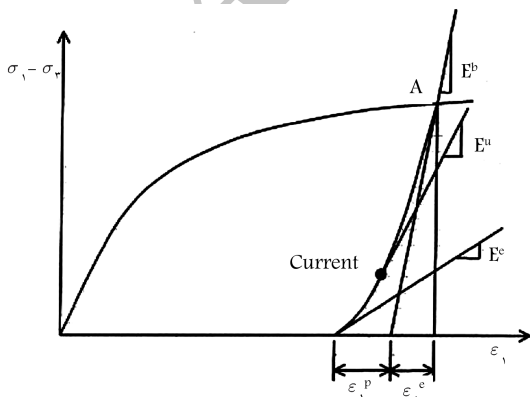
که در آن،  $C^{UL}$  ماتریس مشخصه‌ی کشسان با مدول باربرداری کشسان متغیر  $E^u$  (شکل ۲) و نسبت پواسون  $\nu$  (که ثابت فرض شده است) است. مدول  $E^u$  به صورت رابطه‌ی ۷ محاسبه می‌شود:

$$\frac{1}{E^u} = \frac{1}{E^b} + \frac{1}{E^p} \quad (7)$$

که در آن،  $E^b$  شیب منحنی باربرداری در نقطه‌ی A از مسیر باربرداری (شکل ۲) و  $E^p$  مدول خمیری است، که از طریق معادله‌ی ۸ محاسبه می‌شود:

$$E^p = p_a K_1 \left[ \frac{p_a}{\sqrt{J_{ID}^b} - \sqrt{J_{ID}}} \right]^{K_1} \quad (8)$$

که در آن،  $K_1$  و  $p_a$  پارامترهای ثابتی هستند، که از نتایج آزمایشگاهی به دست می‌آیند. فشار اتمسفریک  $J_{ID}^b$  و  $J_{ID}$  دومین نامغیرهای تانسور تنش انحرافی  $S_{ij}$ ، به ترتیب در شروع باربرداری (نقطه‌ی A) و در خلال باربرداری هستند.



شکل ۲. تابع درون‌یاب برای آزمایش سه‌محوره.<sup>[۲۱]</sup>

غیروابسته است، می‌تواند برای نشان‌دادن پاسخ‌های مصالح براساس تئوری حالت خمیری پیوسته مورد استفاده قرار گرد.<sup>[۱]</sup> تابع تسلیم HISS هم برای تسلیم‌شدن کشسان و هم فشاری قابل استفاده است. در مدل HISS، تابع تسلیم F (شکل ۱) از رابطه‌ی ۱ به دست می‌آید:

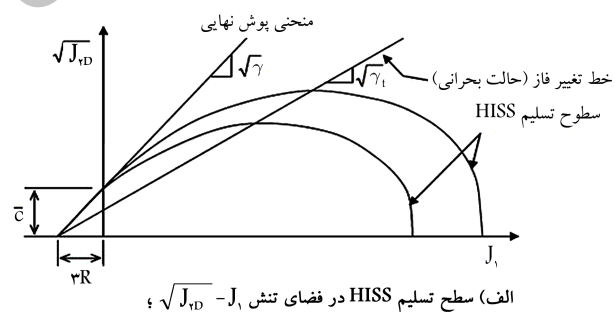
$$F = \bar{J}_{ID} - (-\alpha \bar{J}_1^n + \gamma \bar{J}_1^r)(1 - \beta S_r)^m = 0 \quad (1)$$

$$= \bar{J}_{ID} - F_b F_s = 0$$

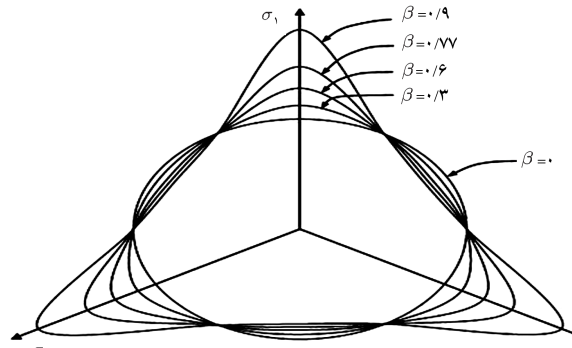
که در آن،  $\bar{J}_{ID}/P_a = J_{ID}/P_a$  و  $P_a$  ثابت فشار اتمسفر است. همچنین  $\bar{J}_1 = R/3 + 3R/P_a$  که در آن،  $R$  تنش پیوستگی است (عنی مقاومت کششی تحت بارگذاری فشاری و مقاومت فشاری تحت بارگذاری کششی) و  $\bar{c} = \bar{c}/3 + \sqrt{\gamma}$  که در آن،  $\sqrt{\gamma}$  شیب منحنی پوش نهایی  $\bar{c}$  و متناسب با مقاومت چسبندگی مصالح است. مقاومت کششی تک محوره‌ی  $f_t$  درین می‌تواند برای محاسبه‌ی R استفاده شود و محدوده‌ی تغییر آن به صورت  $n \leq R \leq 10^{14} f_t \leq 10^{10} 3 ft \leq 10^{14} ft$  است. پارامتر تغییر فاز است، که حجم در انتقال از انتباخت به انسپاخت تغییر می‌باید یا به صفر می‌رسد و اغلب  $-0.5 \leq m \leq 0$  است.  $\gamma$  پارامتر مربوط به سطح تسلیم نهایی،  $\beta$  مربوط به شکل F در فضای  $\sigma_1 - \sigma_2 - \sigma_3$  است،  $S_r$  نسبت تنش بوده و برابر با  $(J_{ID}/J_{ID}^r)(\sqrt{27}/2)$  است، و  $\alpha$  پارامتر رشد یا سخت‌شدنگی است، که به صورت روابط ۲ و ۳ بیان می‌شود:

$$\alpha = \frac{a_1}{\zeta \eta} \quad (2)$$

$$\zeta = \int (d\varepsilon_1^p \cdot d\varepsilon_1^p + d\varepsilon_2^p \cdot d\varepsilon_2^p + d\varepsilon_3^p \cdot d\varepsilon_3^p)^{\frac{1}{2}} \quad (3)$$



الف) سطح تسلیم HISS در فضای تنش  $J_{ID}$ ,  $\sqrt{J_{ID}}$ ,



ب) صفحه چند وجهی (برای تحدب  $\beta < 0.756$ ).<sup>[۳۱]</sup>

شکل ۱. نمایش سطح تسلیم HISS در فضای تنش انحرافی و فضای سه بعدی تنش.

#### ۴. بارگذاری مجدد

شکل ۳، دو حالت بارگذاری مجدد برای حالات یک مسیره و دو مسیره را نشان می‌دهد. برای هر دو حالت مذکور، رابطه‌ی ۹ برقرار است:

که در آن،  $\sigma^b$ ،  $\sigma$  و  $d\sigma$  بردارهای تنش به ترتیب: قبل از باربرداری، برای تنش رایج (در خلال باربرداری) و برای نمو تنش بعدی هستند. همچین،  $S = -1$  نشان‌دهندهٔ حالت بارگذاری مجدد در حالت ۱ است، در حالی که  $S = 1$  حالت بارگذاری ۲ را نشان می‌دهد (رابطه‌ی ۱۲):

$$\frac{1}{E^{br}} = \frac{1-S}{2E^b} + \frac{1+S}{2E^e} \quad (12)$$

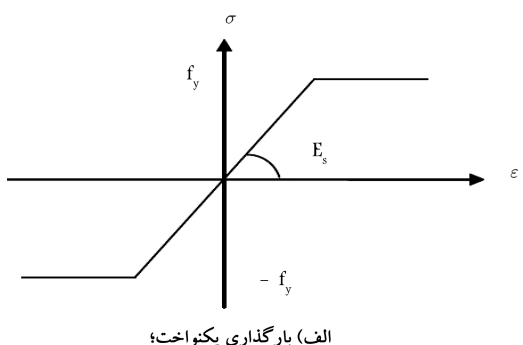
سپس مدول بارگذاری مجدد به صورت رابطه‌ی ۱۳ به دست می‌آید:

$$\frac{1}{E^R} = \frac{1-R}{E^{br}} + \frac{R}{E} \quad (13)$$

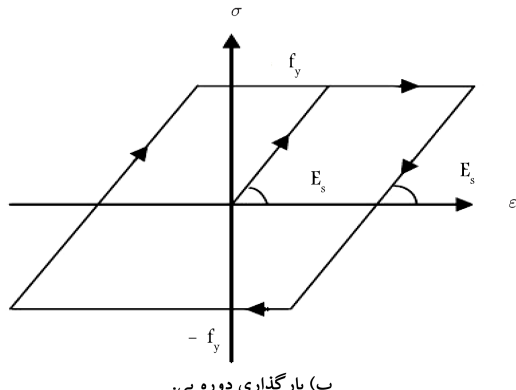
که در آن،  $E$  مدل کشسان مصالح است، که اغلب به عنوان شیب خط اتصال نقاط شروع و انتهای باربرداری یا شیب اولیه در نظر گرفته می‌شود (شکل ۳الف). سپس در شروع بارگذاری مجدد،  $R = E^R = E^{br}$  است، که انتقال ملامی از باربرداری به بارگذاری مجدد را قطعی می‌سازد (شکل ۳ب). در انتهای بارگذاری مجدد،  $R = 1$  است که انتقال ملامی از بارگذاری مجدد به بارگذاری اصلی (منحنی پوش) را ممکن می‌سازد.<sup>[۲۱]</sup>

#### ۵. رابطه‌ی تنش - کرنش برای فولاد

رفتار کشسان - کاملاً خمیری برای مدل‌سازی میلگرد‌های فولادی در نظر گرفته می‌شود. رابطه‌ی تنش - کرنش فولاد برای بارگذاری یکنواخت و دوره‌ی مطابق شکل ۴ است. برای یک کرنش فرضی،  $\varepsilon_s$  تنش  $\sigma_s$  بر روی منحنی پوش کششی



الف) بارگذاری یکنواخت؛



ب) بارگذاری دوره‌ی.

شکل ۴. رابطه‌ی تنش - کرنش برای فولاد.

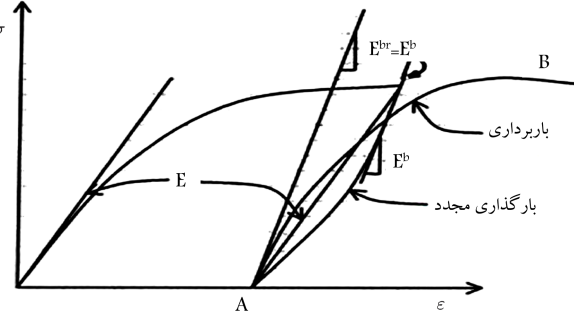
$$d\sigma^a = RC^{DSC} d\varepsilon + (1-R)C^e d\varepsilon \quad (9)$$

که در آن،  $R$  پارامتر درون‌یاب است، به‌گونه‌یی که مقدار آن به صورت  $1 \leq R \leq 0$  است. برای شروع بارگذاری مجدد،  $R = 0$  و برای انتهای بارگذاری مجدد،  $R = 1$  است. بنابراین در شروع بارگذاری مجدد، رفتار کشسان است و رابطه‌ی ۱۰ را خواهیم داشت:

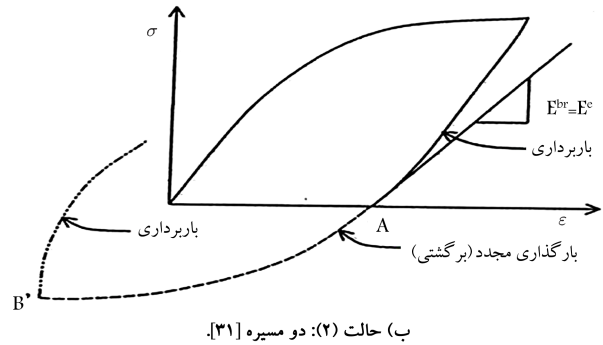
$$d\sigma^a = C^e d\varepsilon \quad (10)$$

برای حالت ۱ شکل ۳الف،  $E^{br} = E^b$  است، که در آن،  $E^b$  شیب باربرداری در شروع باربرداری و برای حالت ۲ شکل ۳ب،  $E^{br} = E^e$  است، که در آن،  $E^e$  شیب در انتهای باربرداری است. برای هر دو حالت ۱ و ۲،  $R = \sqrt{J_{rD}} / \sqrt{J_{bD}}$  است: که در آن  $J_{rD}$  و  $J_{bD}$  دو مینی‌نماینده‌ی تأثیرهای تأسیور تنش به ترتیب در شروع آخرین باربرداری و در خلال بارگذاری مجدد هستند. در تحلیل اجراء محدود، مسیر تنش بارگذاری مجدد ممکن است بین دو حالت ۱ و ۲ باشد. سپس یک پارامتر  $S$ ، به عنوان نماینده جهت نشان‌دادن بارگذاری مجدد مطابق رابطه‌ی ۱۱ تعریف می‌شود:

$$S = \frac{(\sigma^b - \sigma)^T d\sigma}{\|(\sigma^b - \sigma)^T\| \|d\sigma\|}, \quad -1 \leq S \leq 1 \quad (11)$$

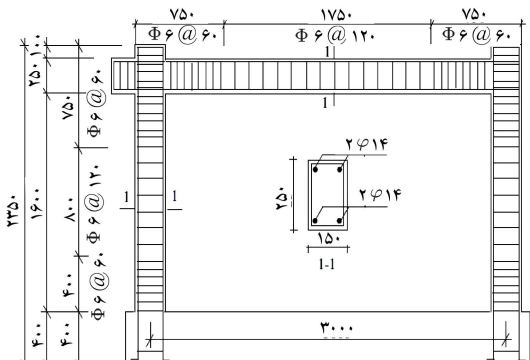


الف) حالت (۱): یک مسیره؛

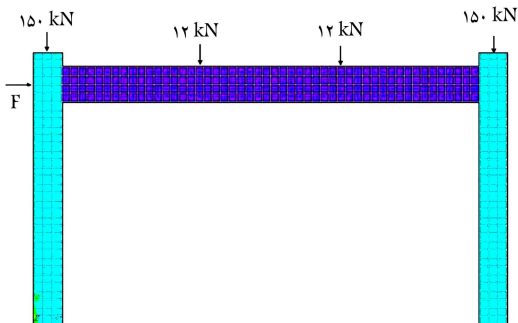


ب) حالت (۲): دو مسیره [۳۱].

شکل ۳. دو حالت بارگذاری مجدد.



الف) جزئیات قاب [۳۳] (تمامی ابعاد بر حسب میلیمتر است؛)



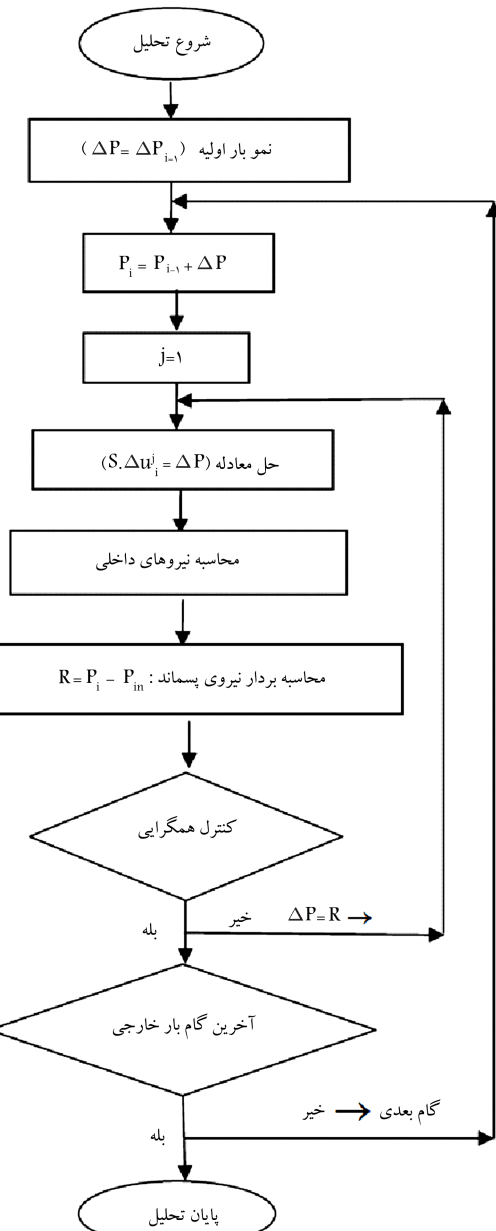
ب) شبکه بندی اجزای محدود.

شکل ۶. نمایش جزئیات قاب بتن مسلح [۳۳] و شبکه بندی مورد استفاده در مدل عددی.

۱) تیر به ترتیب تحت بارگذاری یکنواخت و دوره‌بی مورد مطالعه قرار گرفته‌اند. این نمونه‌ها، با استفاده از مدل حالت خمیری پیشنهادی مدل سازی و با نتایج آزمایشگاهی مقایسه شده‌اند. شایان توجه است که از لغزش بین آرماتور و بتن به‌دلیل وجود طول گیرایی کافی صرف‌نظر و پوستگی کامل بین بتن و آرماتور در نظر گرفته شده است.

#### ۱.۶. قاب زایو و همکاران، [۳۳] تحت بارگذاری مونوتونیک

جزئیات قاب مورد آزمایش زایو و همکاران، [۳۳] در شکل ۱۶ الف ارائه شده است. مقاومت فشاری ۲۸ روزه و مدول حالت کشسانی بتن به ترتیب برابر با Mpa ۲۷ و Mpa ۳۳۰۰۰، و تنش تسلیم آرماتورهای طولی و خاموت‌ها به‌ترتیب برابر با Mpa ۴۴۸ و ۴۲۳، و همچنین مدول کشسان آرماتورهای فولادی برابر با Mpa ۲۰۰۰۰۰۰ مودول کشسان آرماتورها در نظر گرفته شده است. فاصله‌ی بین پوشش بتن خالص و آرماتورها برابر با ۲۰ mm در نظر گرفته شده است. بارهای قائم KN ۱۵۰ بر بالای هر کدام از دو ستون، و بارهای KN ۱۲ در یک سوم و دو سوم از انتهای سمت چپ تیر اعمال شده‌اند. شبکه‌بندی اجزاء محدود قاب در شکل ۶ ب، نشان داده شده است. شایان توجه است که در دسای، [۳۱] نشان داده است که مدل سطح تسلیم ارائه شده نسبت به پدیده‌ی شکست موضعی حساس نیست. در شبکه‌بندی قاب از المان ۸ که بروی برای مدل سازی بتن و از ۱۰ المان خربایی برای مدل سازی آرماتورها استفاده شده است. تعداد کل گره‌ها برابر با ۱۴۳۱، تعداد درجات آزادی برابر با ۲۸۳۴، و تعداد درجات گیردار در پای سنتون‌ها برابر با ۲۸ بوده است. پارامترهای به کاررفته در مدل HISS، مطابق جدول ۱ بوده و منحنی بار-تعییرمکان برای قسمت بالایی قاب در شکل ۷ نشان داده شده است.



شکل ۵. فلوچارت برنامه‌ی تحلیل غیرخطی.

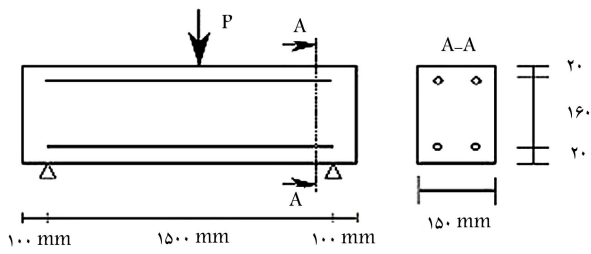
بر حسب مدل یانگ  $E_s$  و تنش تسلیم  $f_y$  از طریق رابطه‌ی ۱۴ به دست می‌آید:

$$\sigma_s = \begin{cases} E_s \varepsilon_s & \text{if } \varepsilon_s \leq f_y/E_s \\ f_y & \text{if } \varepsilon_s > f_y/E_s \end{cases} \quad (14)$$

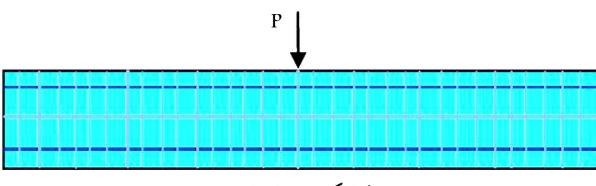
در این پژوهش به منظور تحلیل غیرخطی سازه‌ها تحت بارگذاری سیکلی، از روش حل نیوتن - رافسون، [۲۲] استفاده شده است، که فلوچارت آن مطابق شکل ۵ است.

#### ۶. شبیه سازی عددی

در ادامه، به منظور بررسی توانایی مدل ارائه شده در این پژوهش در تجزیه و تحلیل اجزاء محدود غیرخطی سازه‌های بتن آرم، دو نمونه‌ی آزمایشگاهی شامل ۱ قاب و

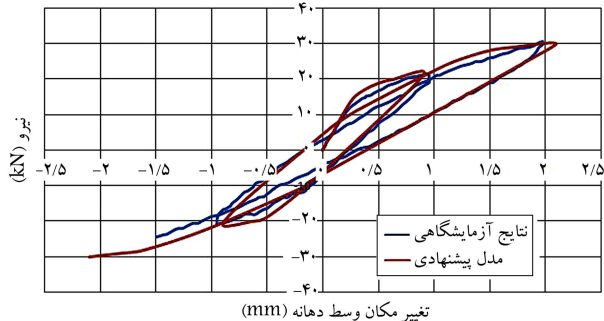


الف) جزئیات تیر [۳۴]



ب) شبکه بندی اجزای محدود.

شکل ۸. نمایش جزئیات تیر بتن مسلح [۳۴] و شبکه بندی اجزای محدود در روش اجزاء محدود.



شکل ۹. مقایسه‌ی بین منحنی‌های بار - تغییرمکان وسط دهانه، براساس مدل ارائه شده و نتایج آزمایشگاهی لابوردری [۳۴].

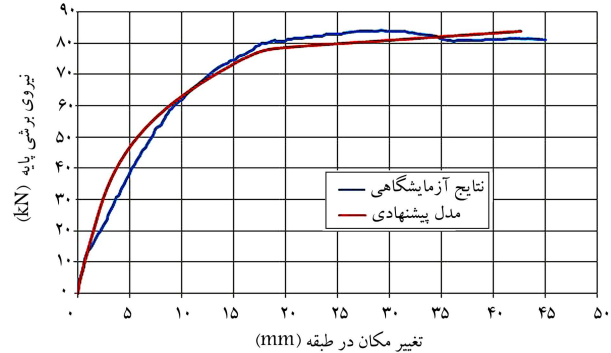
## ۷. نتیجه‌گیری

در این مطالعه از روش تجزیه و تحلیل اجزاء محدود غیرخطی برای پیش‌بینی رفتار سازه‌های بتن آرمه تحت بارگذاری مونوتونیک و دوره‌ی استفاده شده است. برای شبیه‌سازی رفتار بتن در فشار و کشش از سطح تسليم HISS، که می‌تواند تغییرشکل‌های کشسان و خمیری را در نظر بگیرد، تغییرشکل‌های خمیری می‌تواند اتفاق است در هنگام باربرداری و بارگذاری مجدد، تغییرشکل‌های خمیری می‌تواند اتفاق افتد و پاسخ کلی سازه را تحت تأثیر قرار دهد. لذا از معادلات ارائه شده توسعه دسای استفاده شده است، که در عین ساده‌بودن می‌تواند شبیه‌سازی رضایت‌بخشی از حالات باربرداری و بارگذاری مجدد برای سازه‌های بتن آرمه تحت بارگذاری دوره‌ی ارائه دهد. همچنین رفتار آرماتورهای فولادی به صورت کشسان - کاملاً خمیری فرض شده است. به منظور بررسی توانایی مدل پیشنهادی در پیش‌بینی رفتار غیرخطی سازه‌های بتن آرمه تحت بارگذاری یکنواخت و دوره‌ی، ۲ تیر و ۲ قاب مدل‌سازی و نتایج بار - تغییرمکان به دست آمده برای وسط دهانه تیر، با نتایج آزمایشگاهی در شکل ۹ نشان داده شده است.

- یکی از مزیت‌های سطح تسليم HISS نسبت به سایر سطوح تسليم، قابلیت مدل مذکور برای استفاده در طیف وسیعی از مصالح است و در واقع کاربرد آن فقط محدود به بتن نیست و با تنظیم پارامترهای آن برای مصالحی همچون: انواع

جدول ۱. مقادیر ثابت‌ها در مدل HISS.

$R(\text{Mpa})$	$\eta_1$	$a_1$	$n$	$\beta$	$\gamma$
۲/۲	۰,۳۷	$۹,۸ \times ۱۰^{-۱۱}$	۴,۷۶	۰,۶۱۴	۰,۰۶۸



شکل ۷. مقایسه‌ی تغییرمکان جانی در قسمت بالای قاب براساس مدل پیشنهادی با نتایج آزمایشگاهی زایو و همکاران. [۳۲]

جدول ۲. مقادیر ثابت‌ها در مدل HISS.

$R(\text{Mpa})$	$\eta_1$	$a_1$	$n$	$\beta$	$\gamma$
۲/۲	۰,۴	$۹,۵ \times ۱۰^{-۱۱}$	۴,۷۶	۰,۶	۰,۰۷

در تحلیل غیرخطی به روش نیوتن - رافسون، بارکل جانی وارد بر سازه به ۳۰ نمو بار تقسیم شده است. براساس تحلیل اجزاء محدود مطابق شکل ۷، قاب در بار ۸۴ KN چهارگشیختگی شده است. بار جانی مشاهده شده در آزمایشگاه برابر با ۸۵ KN است، بنابراین درصد خطأ برابر با ۱/۱۷ است. این تذکر لازم است که این قاب توسعه اخویسی و دسای، [۵] نیز به کمک مدل سطح تسليم HISS، مدل سازی شده و با نتایج آزمایشگاهی مورد مقایسه قرار گرفته است. در مقایسه‌ی انجام گرفته توسط این پژوهشگران نیز مدل پیشنهادی با نتایج آزمایشگاهی تطابق خوبی را نشان داده است، لذا می‌توان گفت که نتایج به دست آمده از کار اخویسی و دسای، [۵] نیز خود تأییدی بر توانایی مدل پیشنهادی در پژوهش حاضر است.

## ۲.۶. تیر لابوردری، [۳۴] تحت بارگذاری دوره‌ی

یک تیر بتن مسلح با تکیه‌گاههای ساده با باری که به وسط دهانه‌ی آن وارد می‌شود، توسط لابوردری، [۳۴] مورد آزمایش قرار گرفته است (شکل ۱۸الف). قطر آرماتورهای طولی برابر با ۱۲ mm، مقاومت نهایی فولاد برابر با ۴۵۰ Mpa، و مدول کشسان آن برابر با ۲۰۰۰۰۰ Mpa بوده است. مقاومت فشاری بتن برابر با ۳۱ Mpa و مدول کشسان آن برابر با ۳۰۰۰۰ Mpa بوده است. در تحلیل اجزاء محدود، از ۱۳۶ المان ۸ گرهی برای بتن، و از ۱۳۶ المان خربایی برای آرماتورها استفاده شده است. شبکه بندی اجزاء محدود تیر در شکل ۸ ب نشان داده شده است.

پارامترهای استفاده شده در مدل HISS، مطابق جدول ۲ است. مقایسه‌ی نمودار بار - تغییرمکان به دست آمده برای وسط دهانه تیر، [۱۷] با نتایج آزمایشگاهی در شکل ۹ نشان داده شده است.

مطابق شکل ۹ مشاهده می‌شود که نتایج به دست آمده براساس مدل پیشنهادی در این پژوهش در مثال مذکور، تطابق خوبی با نتایج آزمایشگاهی داشته است. همان‌طور که در شکل نیز قابل مشاهده است، مسیرهای باربرداری و بارگذاری مجدد، و چرخه‌های هسترتیک تطابق خوبی با نتایج آزمایشگاهی نشان داده است.

- با توجه به نمودار نیرو - تغییر مکان به دست آمده برای بارگذاری مونوتونیک (شکل ۷)، در قاب زایر و همکاران،<sup>[۲۳]</sup> براساس برنامه ای اجزاء محدود غیرخطی نوشته شده مشاهده شده است که مدل پیشنهادی برای بارگذاری مونوتونیک توانایی بسیار خوبی در پیش بینی رفتار غیرخطی سازه های بتن آرمه دارد.
- با توجه به نمودار نیرو - تغییر مکان به دست آمده برای حالت بارگذاری دوره ای رفت و برگشتی (شکل ۹)، در تیر لابوردری،<sup>[۲۴]</sup> براساس برنامه ای اجزاء محدود غیرخطی نوشته شده مشاهده شده است که منحنی پوش، مسیرهای باربرداری و بارگذاری مجدد و چرخه های هیستوریک به خوبی مدل سازی شده و تطابق خوبی با نتایج آزمایشگاهی نشان داده است. بنا بر این می توان گفت برنامه ای اجزاء محدود غیرخطی نوشته شده، توانایی مناسبی در مدل سازی رفتار غیرخطی سازه های بتن آرمه تحت بارگذاری دوره ای رفت و برگشتی دارد.
- برنامه ای نوشته شده، یک برنامه کامل است، که برای انواع سازه های بتن آرمه از جمله: تین ستون، و قاب کاربرد دارد.

## منابع (References)

- Choi, C.K. and Kwak, H.G. "The effect of finite element mesh size in nonlinear analysis of reinforced concrete structures", *Computers and Structures*, **36**, pp. 807-815 (1990).
- Amiri, B. and Akhaveissy, A.H. "A new constitutive model for concrete under cyclic loading", *6th International Conference on Seismology and Earthquake Engineering*, Iran, Tehran (16-18 May 2011).
- Desai, C.S. and Fishman, K.L. "Plasticity – based constitutive model with associated testing for joints", *Int. J. Rock Mech. Min. Sci. and Geomech. Abstr.*, **28**(1), pp. 15-26 (1991).
- Akhaveissy, A.H. and Desai, C.S. "Unreinforced masonry walls: Nonlinear finite element analysis with a unified constitutive model", *Arch. Comput. Methods Eng.*, **18**(4), pp. 485-502 (2011).
- Akhaveissy, A.H. and Desai, C.S. "Application of the DSC model for nonlinear analysis of reinforced concrete frames", *Finite Element in Analysis and Design*, **50**, pp. 98-107 (2012).
- Akhaveissy, A.H., Desai, C.S., Mostofinejad, D. and Vafai, A. "FE analysis of RC structures using DSC model with yield surface for tension and compression", *Journal of Computers and Concrete*, **11**(2), pp. 123-148 (2013).
- Jafarian, M. and Wang, Y.C. "Force-deflection relationship of reverse channel connection web component subjected to transverse load", *Journal of Constructional Steel Research*, **104**, pp. 206-226 (2015).
- Richard, B. and Ragueneau, F. "Continuum damage mechanics based model for quasi materials subjected to cyclic loadings: Formulation, numerical implementation and application", *Journal of Engineering Fracture Mechanics*, **98**, pp. 383-406 (2013).
- Jukic, M., Brank, B. and Ibrahimbegovic, A. "Failure analysis of reinforced concrete frames by finite element that combines damage, plasticity and embedded discontinuity", *Journal of Engineering Structures*, **75**, pp. 507-527 (2014).
- Mousavi, S.A., Zahrai, S.M. and Bahrami-Rad, A. "Quasi- static cyclic tests on super- lightweight EPS concrete shear walls", *Journal of Engineering Structures*, **65**, pp. 62-75 (2014).
- Panyakpo, P. "Cyclic pushover analysis procedure to estimate seismic demands for buildings", *Journal of Engineering Structures*, **66**, pp. 10-23 (2014).
- Skalomenos, K.A., Hatzigeorgiou, G.D. and Beskos, D.E. "Parameter identification of three hysteretic models for simulation of the response of CFT columns to cyclic loading", *Journal of Engineering Structures*, **61**, pp. 44-60 (2014).
- Hu, H.T. and Schnobrich, W.C. "Nonlinear finite element analysis of reinforced concrete plates and shells under monotonic loading", *Computers and Structures*, **38**, pp. 637-651 (1991).
- Ghaemeh, M. and Kukreti, A.R. "Application of Kinematic Hardening models to cyclic plasticity structural analysis problems", *Computers and Structures*, **46**(4), pp. 633-647 (1993).
- Mroz, Z. "On the description of anisotropic work hardening", *J. Mech. Phys. Solids*, **15**(3), pp. 163-175 (1967).
- Vechio, F.J. "Towards cyclic load modeling of reinforced concrete", *ACI Structural Journal*, **96**(2), pp. 193-202 (1999).
- Wang, T. and Hsu, T.T.C. "Nonlinear finite element analysis of concrete structures using new constitutive models", *Computers and Structures*, **79**(32), pp. 2781-2791 (2001).

- سازمان اسناد و کتابخانه ملی  
جمهوری اسلامی ایران
18. Park, H. and Kim, J.Y. "Plasticity model using multiple failure criteria for concrete in compression", *International Journal of Solids and Structures*, **42**(8), pp. 2303-2322 (2005).
  19. Park, H. and Kim, J.Y. "Hybrid plasticity model for reinforced concrete in cyclic shear", *Engineering Structures*, **27**(1), pp. 35-48 (2005).
  20. Au, F.T.K. and Bai, Z.Z. "Two-dimensional nonlinear finite element analysis of monotonically and non-reversed cyclically loaded RC beams", *Journal Engineering Structures*, **29**(11), pp. 2921-2934 (2007).
  21. Belmouden, Y. and Lestuzzi, P. "Analytical model for predicting nonlinear reversed cyclic behavior of reinforced concrete structural walls", *Engineering Structures*, **29**(7), pp. 1263-1276 (2007).
  22. Grassl, P. and Rempling, R. "A damage – plasticity interface approach to the meso-scale modeling of concrete subjected to cyclic compressive loading", *Engineering Fracture Mechanics*, **75**(16), pp. 4804-4818 (2008).
  23. Faleiro, J., Oller, S. and Barbat, A.H. "Plastic-damage seismic model for reinforced concrete frames", *Computers and Structures*, **86**(7-8), pp. 581-597 (2008).
  24. He, W., Wu, Y.F. and Liew, K.M. "A fracture energy based constitutive model for the analysis of reinforced concrete structures under cyclic loading", *Comput. Methods Appl. Mech. Engrg.*, **197**(51-52), pp. 4745-4762 (2008).
  25. Kulkarni, S.A., Li, B. and Yip, W.K. "Finite element analysis of precast hybrid-steel concrete connections under cyclic loading", *Journal of Constructional Steel Research*, **64**(2), pp. 190-201 (2008).
  26. Hashemi, S.SH., Tasnimi, A.A. and Soltani, M. "Nonlinear cyclic analysis of reinforced concrete frames, utilizing new joint element", *Scientia Iranica*, **16**(6), pp. 490-501 (2009).
  27. Richard, B., Ragueneau, F., Cremona, C. and Adelaide, L. "Isotropic continuum damage mechanics for concrete under cyclic loading: Stiffness recovery, inelastic strain and frictional sliding", *Engineering Fracture Mechanics*, **77**(8), pp. 1203-1223 (2010).
  28. Hawileh, R.A., Rahman, A. and Tabatabai, H. "Nonlinear finite element analysis and modeling of a precast hybrid beam-column connection subjected to cyclic loads", *Applied Mathematical Modelling*, **34**(9), pp. 2562-2583 (2010).
  29. Nakamura, N., Tsunashima, N., Nakano, T. and Tachibana, E. "Analytical study on energy consumption and damage to cylindrical and I-shaped reinforced concrete shear walls subjected to cyclic loading", *Engineering Structures*, **31**(4), pp. 999-1009 (2009).
  30. Willam, K.J. and Warnke, E.P. "Constitutive model for triaxial behavior of concrete", *Seminar on Concrete Structure Subjected to Triaxial Stress, International Association of Bridge and Structural Engineering Conference*, Bergamo, Italy, p. 174 (1974).
  31. Desai, C.S., *Mechanics of Materials and Interfaces*, The Disturbed State Concept, CRC Press, Boca Raton, Florida, USA (2001).
  32. Crisfield, M.A., *Non-linear Finite Element Analysis of Solids and Structures*, John Wiley and Sons, Englewood Cliffs, NJ (2000).
  33. Xiao, J., Yuedong, S. and Falkner, H. "Seismic performance of frame structures with recycled aggregate concrete", *Journal of Engineering Structures*, **28**(1), pp. 1-8 (2006).
  34. La Borderie, C. "Unilateral effects for damage-like materials: modelling and application to concrete structures", PhD Thesis, University Paris VI, Paris (1991).
  35. Akhaveissy, A.H., Desai, C.S., Sadrnejad, S.A. and Shakib, H. "Implementation and comparison of a generalized plasticity and disturbed state concept for the load-deformation behavior of foundations", *Scientia Iranica, Transaction A: Civil Engineering*, **16**(3), pp. 189-198 (2009).